

CASO CLÍNICO

Estudios de imagen en el melanoma coroideo



Edwin Javier Anaya-Pava^{a,*}, Rubén Iván Cárdenas-Hernández^{a,b}
y Norma Aidé Castro-Santana^a

^a Instituto Mexicano del Seguro Social, Unidad Médica de Alta Especialidad N.º 71, Servicio de Oftalmología, Torreón, Coahuila, México

^b Instituto de la Visión, Servicio de Retina, Torreón, Coahuila, México

Recibido el 25 de noviembre de 2013; aceptado el 8 de agosto de 2014
Disponible en Internet el 11 de octubre de 2014

PALABRAS CLAVE

Melanoma coroideo;
Agudeza visual;
Fondo de ojo

KEYWORDS

Choroidal melanoma;
Visual acuity;
Ocular fundus

Resumen Se presenta el caso de una mujer de 42 años de edad con disminución progresiva de la agudeza visual de 2 años de evolución en el ojo izquierdo, que le fue diagnosticado un melanoma coroideo mediante la exploración oftalmológica y los diversos estudios de imagen, de los cuales se comentan las principales características imagenológicas para esta enfermedad. © 2013 ACTEDI. Publicado por Elsevier España, S.L.U. Todos los derechos reservados.

Imaging studies in choroidal melanoma

Abstract A case is presented of a 42 year-old woman with a gradual decrease in visual acuity of 2 years of onset in the left eye. She was diagnosed as choroidal melanoma by ophthalmologic examination and imaging studies. The main imaging features for this pathology are discussed. © 2013 ACTEDI. Published by Elsevier España, S.L.U. All rights reserved.

Historia clínica

Una mujer de 42 años de edad, sin antecedentes heredo-familiares ni personales patológicos de importancia, se presentó con historial de disminución lenta y progresiva de la agudeza visual (AV) del ojo izquierdo de 2 años de evolución y que empeoró 2 meses previos a la consulta. La AV del ojo

derecho era de 20/20 y con el ojo izquierdo de 20/400. Lo encontrado en la exploración oftalmológica del fondo del ojo izquierdo, llevó a solicitar los estudios de imagen complementarios: se observó un desprendimiento seroso de retina junto con una masa subretiniana sobre elevada ovoide con poco pigmento.

Hallazgos de imagen

Se tomó en primer lugar una fluorangiografía (FAG), utilizando la fluoresceína como medio de contraste. Las primeras

* Autor para correspondencia.

Correo electrónico: ejanayap@hotmail.com (E.J. Anaya-Pava).

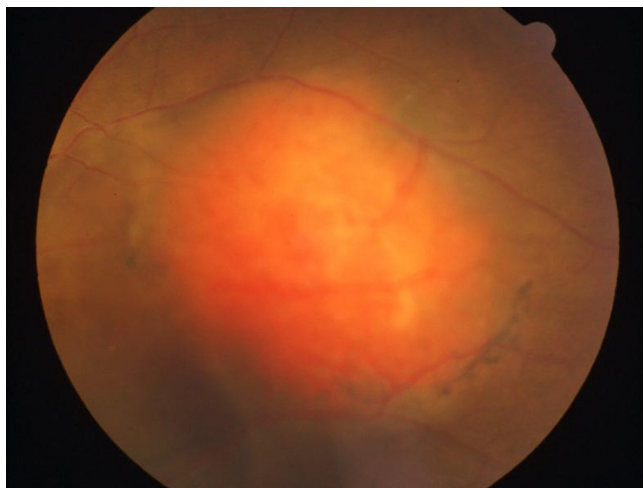


Figura 1 Fotografía a color de fondo de ojo izquierdo. Se evidencia masa subretiniana color naranja, ovoide, con pigmento en sus bordes y desprendimiento seroso retiniano.

imágenes del estudio son fotografías a color del fondo de ojo izquierdo (fig. 1). Se demostró una masa subretiniana ovoide color naranja, con pigmento en sus bordes y desprendimiento seroso retiniano. En la fotografía con filtro verde de la FAG antes de la inyección del medio de contraste (fig. 2), se evidenció el desprendimiento seroso de retina con involucro macular, así como la tumoración coroidea delimitada con vasos retinianos que pasan por encima de la lesión. La fase coroidea de la FAG (fig. 3) demostró una hiperfluorescencia y llenado de vasos tumorales. En la fase arteriovenosa de la FAG (fig. 4), se destacó una mayor hiperfluorescencia en el borde nasal de la lesión tumoral simultáneamente con los vasos retinianos normales (doble circulación).

En segundo lugar, se realizó un ultrasonido ocular. En el modo B del ultrasonido, se evidenció una masa de consistencia sólida de mediana ecogenicidad con excavación coroidea, pulsación vascular intrínseca y desprendimiento



Figura 2 Fotografía de fondo de ojo con filtro verde. Destaca el área de desprendimiento seroso que involucra región macular. Se observa también la tumoración coroidea delimitada con vasos retinianos pasando por encima de la lesión.

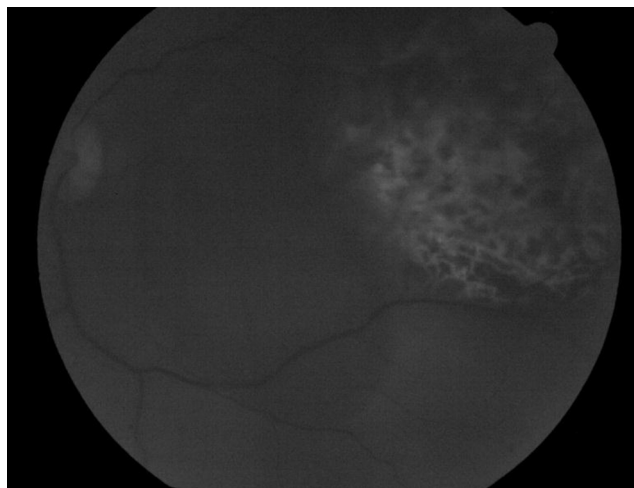


Figura 3 Fase coroidea de la fluorangiografía, que muestra una hiperfluorescencia temprana y llenado de vasos tumorales.

de retina asociado (fig. 5A), con medidas de $5 \times 8 \times 11$ mm en sus diámetros longitudinal, transversal y anteroposterior, respectivamente. En modo Doppler (fig. 5B) se observó un espectro arterial de baja resistencia.

En tercer lugar se realizó una tomografía computarizada (TC) de cráneo y órbita (fig. 6), que mostró un engrosamiento de la pared posterior e inferior del globo ocular izquierdo de 4,6 mm. Presentó un valor de 40 UH en fase simple y un realce a 150 UH a la aplicación de contraste, denotando una tumoración nodular sólida ubicada en región temporal de la parte media y posterior del globo ocular de forma ovoide con bordes regulares bien definidos. En la fosa posterior, el tallo cerebral, el parénquima cerebral y las estructuras supratentoriales y periorbitales, no se detectaron lesiones.

Discusión

El melanoma ocular tiene una incidencia global anual de 6 casos por millón de habitantes, siendo un poco más fre-

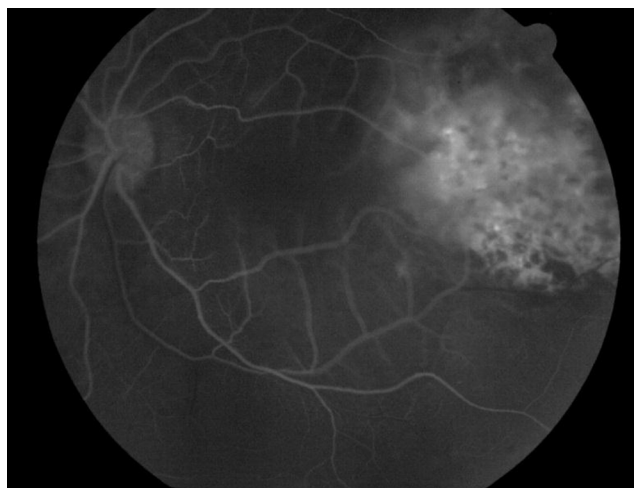


Figura 4 Fase arteriovenosa de la fluorangiografía. Se destaca una mayor hiperfluorescencia en el borde nasal de la lesión tumoral simultáneamente con los vasos retinianos normales.

Download English Version:

<https://daneshyari.com/en/article/2736943>

Download Persian Version:

<https://daneshyari.com/article/2736943>

[Daneshyari.com](https://daneshyari.com)